

где k^{III} — константа скорости процесса трехчастичной фоторекомбинации атомов хлора. Константа k^{III} нами оценивалась по формуле (4), используя измеренные значения абсолютной интенсивности излучения I и определенные расчетным путем концентрации атомов хлора при данной температуре. Для двух случаев, приведенных на рис. 1, $k^{\text{III}}=1.6 \cdot 10^{-19} \text{ см}^3/\text{с}$ при $T=1500 \text{ К}$ и $k^{\text{III}}=1.5 \cdot 10^{-19} \text{ см}^3/\text{с}$ при $T=960 \text{ К}$. Полученные нами оценки удовлетворительно согласуются с вычисленными теоретически в работах [2, 3].

Результаты по зависимости пространственного распределения свечения хлора вдоль координаты сопла (рис. 2) можно пояснить следующим образом. Во-первых, более быстрый спад интегральной интенсивности (кривая b), чем ее инфракрасная составляющая (кривая a), при расстояниях от критического сечения, меньших 5 мм, вызван уменьшением удельного вклада в коротковолновой области двухчастичного механизма фоторекомбинации в ${}^1\Pi_{1u}$ -состояние хлора, скорость которого экспоненциально уменьшается при уменьшении температуры [3]. Во-вторых, немонотонный характер падения интенсивности излучения вдоль координаты сверхзвуковой струи хлора возможно вызван конкуренцией двух факторов, по-разному определяющих величину интенсивности рекомбинационного излучения. Это — монотонное падение плотности атомов хлора в сопле, предопределяющее падение интенсивности излучения при данной температуре и отрицательная температурная зависимость константы скорости процесса трехчастичной фоторекомбинации, приводящая к увеличению интенсивности излучения при понижении температуры. Заметим, однако, что количественная интерпретация требует дальнейшего теоретического и экспериментального изучения неравновесно протекающих физико-химических процессов в хлоре, сопровождающихся излучением света.

Литература

- [1] Т. Каррингтон, Д. Гарви. В сб.: Возбужденные частицы в химической кинетике, 123. «Мир», М., 1973.
- [2] А. С. Башкин, А. Н. Ораевский. Кvant. elektron., 3, 29, 1976.
- [3] Г. Д. Курманалиева, Г. В. Шляпников, И. П. Шматов. Opt. i spektr., 46, 850, 1979.
- [4] Н. С. Белокриницкий, Л. А. Кернажицкий, Н. Д. Курмей, В. И. Романенко, М. Т. Шпак. DAN УССР, сер. А, 1003, 1978.
- [5] Н. С. Белокриницкий, Л. А. Кернажицкий, Н. Д. Курмей, М. Т. Шпак. УФЖ, 22, 493, 1977.

Поступило в Редакцию 11 марта 1980 г.

УДК 535.375 : 548.0

ИЗМЕНЕНИЯ В СПЕКТРАХ КР КРИСТАЛЛОВ $\text{LiNbO}_3\text{-Fe}$ В ЗАВИСИМОСТИ ОТ ДЛИНЫ ВОЛНЫ ВОЗБУЖДАЮЩЕГО СВЕТА

Б. А. Колесов, А. Е. Семёнов и Е. В. Черкасов

При освещении кристаллов $\text{LiNbO}_3\text{-Fe}$ светом в них происходит локальное обратимое изменение показателя преломления, так называемое оптическое повреждение (ОП). Для указанных кристаллов ОП начинает появляться при длине волны меньше 800 нм и значительно увеличивается при длине волны меньше 500 нм, повреждение вблизи пика $\lambda=415 \text{ нм}$ примерно в 10 раз больше, чем для $\lambda=632.8 \text{ нм}$ [1]. Нами были проведены измерения поляризованных спектров КР кристаллов $\text{LiNbO}_3\text{-Fe}$ в зависимости от длины волны возбуждающего света с целью установления кор-

реляций между ОП, которое вызывается возбуждающим спектр лучом лазера, и возможными изменениями спектров КР.

Были изучены спектры монокристаллов $\text{LiNbO}_3\text{-Fe}$ с концентрацией железа $C_{\text{Fe}}=0.005; 0.05 \text{ вес. \%}$. Чувствительность к ОП кристаллов с концентрацией $C=0.05 \text{ вес. \%}$ на порядок выше, чем для $C=0.005 \text{ вес. \%}$ [2]. Кристаллы ориентировались с помощью рентгеноструктурного анализа и имели размеры $8\times 8\times 8 \text{ мм}$. Ось z совпадала соптической осью c , x перпендикулярна к плоскости скольжения, y перпендикулярна z и x .

Для возбуждения спектров использовались следующие лазеры He-Cd ($\lambda_0=441.6 \text{ нм}$), He-Ne ($\lambda_0=632.8 \text{ нм}$), АИГ: Nd^{3+} ($\lambda_0=1060.0 \text{ нм}$). Для регистрации спектров применялся спектрометр ДФС-24, рассеянный свет регистрировался под углом 90° к падающему. При получении спектров, возбуждаемых ИК лазером, стандартная установка ДФС-24 была несколько изменена, использовался охлаждаемый ФЭУ-83 с регистрацией «счет фотонов».

Рассмотрены следующие геометрии рассеяния $x(zz) y, z(xx) y, x(zx) y, z(yz) x$, в которых наблюдалась поперечные оптические фононы $A_1(TO)$ симметрии A_1 , поперечные оптические фононы $E(TO)$ симметрии E , продольные и поперечные фононы (LO, TO) симметрии E , квазипротодольные и квазипоперечные (qLO, qTO) смешанной симметрии (A_1+E) соответственно.

При измерениях поляризованных спектров КР кристаллов $\text{LiNbO}_3\text{-Fe}$ в зависимости от длины волны возбуждающего излучения наблюдается значительное увеличение интенсивностей линий, соответствующих $E(LO)$ фононам, при увеличении длины волны лазерного излучения (см. рисунок), причем возрастание интенсивностей линий $E(LO)$ фононов для концентрации железа $C=0.05$ больше, чем для $C=0.005$. Наиболее наглядно это проявляется для пар линий ($\omega_{TO}=236 \text{ см}^{-1}, \omega_{LO}=245 \text{ см}^{-1}$), ($\omega_{TO}=261 \text{ см}^{-1}, \omega_{LO}=271 \text{ см}^{-1}$) и ($\omega_{TO}=580 \text{ см}^{-1}, \omega_{LO}=628 \text{ см}^{-1}$). Перераспределения интенсивностей линий $E(TO)$ и $A_1(TO)$ фононов при этом не происходит. Установлено, что наблюдаемые изменения в спектрах нельзя объяснить различием поглощения на некоторых частотах в области спектра КР.

Согласно теории рассеяния Борна [3], интенсивность спектров КР зависит от частоты возбуждающего света как ω_i^4 . В наших измерениях эта зависимость, в общем, выполняется. Однако для линий, соответствующих LO фононам, наблюдается отклонение частотной зависимости величины интенсивности КР от закона ω_i^4 .

Указанные особенности КР в $\text{LiNbO}_3\text{-Fe}$ связаны, по-видимому, с проявлением ОП, которое вызывается лазерным излучением, возбуждающим спектр, так как при уменьшении длины волны возбуждающего излучения и росте концентрации железа ОП растет. Таким образом, можно предположить, что ОП сопровождается такими изменениями в кристаллической решетке, которые приводят к уменьшению интенсивности LO -фононов.

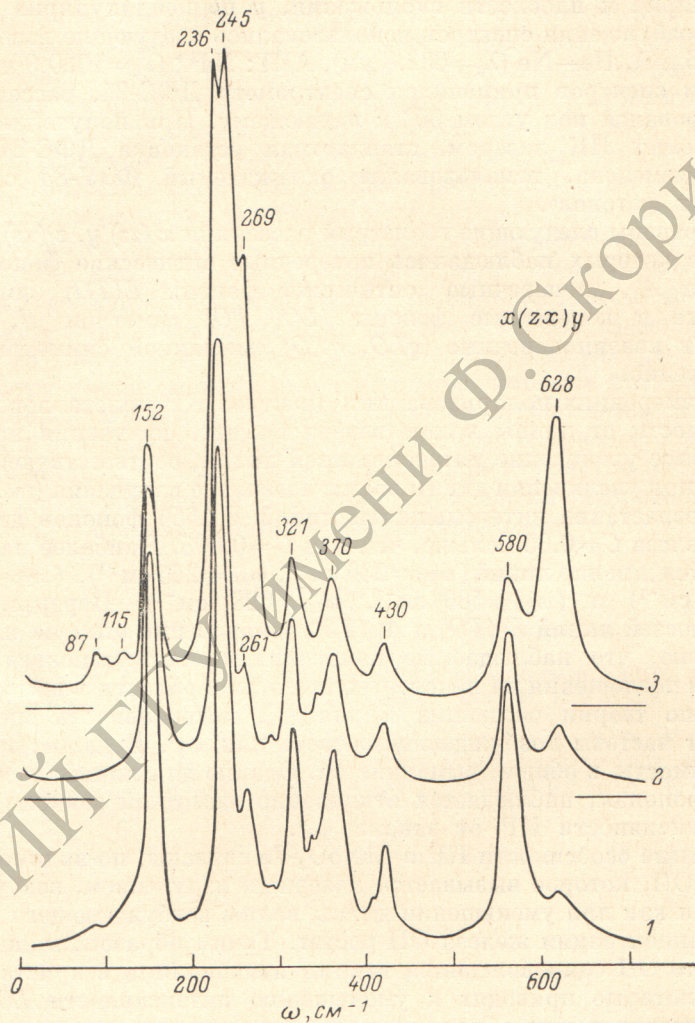
Для интерпретации обнаруженного изменения интенсивностей линий LO -фононов в спектрах КР кристаллов $\text{LiNbO}_3\text{-Fe}$ обратимся к результатам, полученным Джонстоном в [4], где эффективность сечения комбинированного рассеяния на LO -фононах дается уравнением

$$S_{ij, m}^{(LO)} / L\Omega = \sigma_m^{(LO)} \left[\sum_{n=1}^{3N} \alpha_{ij, n} U_{nm} - 16 \sum_{\gamma, \beta} (\varepsilon_{\infty}^{-1})^{\gamma \beta} \sum_{n=1}^{3N} Z_n^{\beta} U_{m\gamma} d_{\gamma, ij} \right]^2, \quad (1)$$

где $S_{ij, m}^{(LO)}$ — относительная интенсивность рассеянного в телесный угол Ω света с поляризацией вдоль оси j (падающий свет с частотой ω_i имеет поляризацию вдоль i) на m -й оптической моде. В рассматриваемом случае $S_{ij, m}^{(LO)} = S_{ex, m}^{(LO)}$; $\sigma_m^{(LO)} = \hbar(\omega_i - \omega_m^{(LO)})^4 (n_{LO} - 1) / 2\omega_m^{(LO)} c^4$; $\alpha_{ij, n} = \partial \alpha_{ij} / \partial W_n^{(TO)}$ — производная тензора поляризуемости по смещениям, соответствующим n -м поперечным колебаниям; U_{nm} — матрица короткодействующего потенциала взаимодействия между ионами n и m ; Z_n^{β} —

эффективный заряд n -й моды в направлении $\beta = x, y, z; \hbar$ и c имеют обычные значения, n_{LO} — числа заполнения для LO -фононов, $d_{\gamma,ij}$ — тензор генерации второй гармоники. Выполнимость этого уравнения показана на примере LiNbO_3 [4].

Появление ОП в кристаллах $\text{LiNbO}_3\text{-Fe}$ связано с перезарядкой ионов железа под действием лазерного излучения, ионы Fe^{2+} переходят в Fe^{3+} [5].



Поляризованные спектры КР кристаллов $\text{LiNbO}_3\text{-Fe}$ ($C=0.05$ вес. %) в зависимости от длины волны возбуждающего света.

$$\lambda_0, \text{ нм}; 1 - 441.6, 2 - 632.8, 3 - 1060.0.$$

При этом будет происходить изменение эффективного заряда n -х продольных оптических мод, что приведет к изменению интенсивности КР на LO -фононах. Излучение ИК лазера не производит ОП [4], поэтому эффективный заряд Z_n^3 не будет изменяться, в то время как действие на кристалл излучения с $\lambda_0=441.6$ нм и $\lambda_0=632.8$ нм приведет к возрастанию Z_n^3 , причем, для $\lambda_0=441.6$ нм в большей степени, а следовательно, и к уменьшению интенсивностей линий LO -фононов.

Из уравнения (1) можно рассчитать величины изменения эффективных зарядов оптических мод, что дает новую информацию об изменении микроструктуры кристаллов в процессе ОП.

Литература

- [1] H. B. Serrgeze, R. B. Goldner. Appl. Phys. Lett., 22, 626, 1973.
- [2] Б. В. Воронов, Ю. С. Кузьминов, В. В. Осикио. Квант. электрон., 3, 2101, 1976.
- [3] М. Борн, Хуан Кунь. Динамическая теория кристаллической решетки. ИЛ, М., 1958.
- [4] W. D. Johnston. Phys. Rev. B., 1, 3494, 1970.
- [5] M. G. Clark, F. J. Disalvo, A. M. Glass, G. E. Peterson. J. Chem. Phys., 59, 6209, 1973.

Поступило в Редакцию 17 марта 1980 г.

УДК 535.372.91

ТЕОРИЯ КОНЦЕНТРАЦИОННОЙ ДЕПОЛЯРИЗАЦИИ ФЛУОРЕСЦЕНЦИИ С УЧЕТОМ ОРИЕНТАЦИОННОГО ФАКТОРА

E. H. Бодунов

Хорошо известно, что концентрационная деполяризация флуоресценции вязких растворов молекул, имеющих невырожденное возбужденное состояние, обусловлена миграцией энергии возбуждения с первоначально возбужденных линейно поляризованным светом молекул на молекулы с другой ориентацией дипольных моментов переходов. Теория этого явления развивалась в ряде работ [1-4] при следующих предположениях. 1. Вращательная деполяризация и концентрационное тушение флуоресценции отсутствуют. 2. Перенос энергии между молекулами осуществляется по диполь-дипольному механизму с вероятностью P_{ij} , независящей от ориентаций дипольных моментов переходов молекул

$$P_{ij} = \frac{1}{\tau_0} \left(\frac{R_0}{R_{ij}} \right)^6, \quad (1)$$

где τ_0 — время жизни возбужденного состояния, R_0 — критический радиус переноса энергии, R_{ij} — расстояние между молекулами i и j . В анизотропию испускания r дает вклад излучение только первоначально возбужденных молекул, поскольку излучение остальных молекул практически полностью деполяризовано [5]. Последнее предположение позволяет выразить r через квантовый выход флуоресценции первоначально возбужденных молекул q_1

$$r/r_0 = q_1/q. \quad (2)$$

Здесь r_0 — анизотропия испускания при бесконечном разбавлении, q — суммарный квантовый выход флуоресценции.

Точное решение задачи в этих общих для всех теорий предположениях было получено методом Монте-Карло [6, 7]. Зависимость r/r_0 от концентрации молекул c в интервале $0 \leq c/c_0 \leq 10$ была аппроксимирована формулой ($\gamma = c/c_0$, $c_0 = (4\pi R_0^3/3)^{-1}$)

$$\frac{r}{r_0} = \left\{ 1 + \frac{\pi}{2\sqrt{2}} \gamma + 0.555\gamma^2 + 0.035\gamma^3 \right\}^{-1}. \quad (3)$$

В работе [8] была предпринята попытка учесть в теории концентрационной деполяризации флуоресценции зависимость вероятности P_{ij} от направлений в пространстве дипольных моментов переходов \mathbf{n}_i и \mathbf{n}_j взаимодействующих молекул. Как известно,

$$P_{ij} = \frac{\chi_{ij}^2}{\tau_0} \left(\frac{R_0}{R_{ij}} \right)^6, \quad (4)$$